

آسیب‌های زمینه DNA در اسپرم‌های افراد سالم و نابارور با استفاده از روش سنجش ستاره دنباله‌دار

دکتر حسین مزدارانی^{۱*}، ستاره خشای^۲

۱- گروه ژنتیک پزشکی، دانشکده علوم پزشکی، دانشگاه تربیت مدرس ۲- پژوهشکده رویان، تهران

Title: Study of baseline DNA damage in the sperms of fertile and infertile men using comet assay.

Authors: Mozdarani H, (PhD); Khashae S, (MSc).

Introduction: Male infertility constitutes the primary cause of infertility for up to 30% of couples amongst many other reasons. Genetic disorders are too important because DNA integrity in sperm is necessary for having healthy next generation. The aim of this study was to evaluate the baseline DNA damage in sperm samples obtained from normal and infertile individuals.

Methods: Baseline DNA damage in spermatozoa from fertile (n=30) and infertile (n=90) individuals was compared using a modified alkaline single cell gel electrophoresis (comet assay). This technique was used to assess DNA integrity in the cells by measuring damages reflected as strand break under alkaline conditions. The cells were embedded in agarose on glass slides followed by lysis of the cell membranes after which, damaged DNA strands migrate under electrophoresis from nucleus towards the anode and deposited to one side giving the appearance of a tail. DNA damage in each group was calculated following visual observation and grading of comets under a fluorescence microscope. The significance of inter-group differences was statistically evaluated using analysis of variance (ANOVA) and Post hoc tests.

Results: Results indicate that the average DNA damage in normal sample is less than any other groups. Samples from oligospermic, oligoasthenospermic and asthenospermic patients showed various degrees of DNA damage significantly different from normal ($p < 0.05$). The highest degree of DNA damage was seen in asthenospermic samples.

Conclusion: DNA damage in infertile individuals is found to be higher than normal. The reason for this observation may be due to a deficiency in antioxidants which is essential present during spermatogenesis. The presence of antioxidants prevents DNA damages in sperms due to oxidative agents.

Keywords: Spermatozoa, male, DNA damage, comet assay, infertility.

Hakim 2005; 8(2); 17-24.

*- نویسنده مسئول: گروه ژنتیک پزشکی، دانشکده علوم پزشکی، دانشگاه تربیت مدرس، ص پ ۱۱۱-۱۴۱۵، نمابر ۸۸۰۰۶۵۴۴ یا ۸۸۰۱۳۰۳۰ E.mail: mozdarah@modares.ac.ir

چکیده:

مقدمه: ناباروری در مردان، عامل ۳۰٪ ناباروری زوجین در بین دلایل دیگر می‌باشد. اختلال در مواد ژنتیکی حایز اهمیت است زیرا موجب انتقال ناقص اطلاعات وراثتی به جنین می‌شود. به همین دلیل، حفظ تمامیت و صحت DNA در هسته اسپرم، برای انتقال تمام و کمال ماده وراثتی از نسلی به نسل دیگر بسیار مهم است. هدف از این تحقیق ارزیابی و مقایسه میزان آسیب زمینه در DNA اسپرم چهار گروه افراد سالم و نابارور بوده است.

روش کار: به این منظور نمونه اسپرم ۳۰ نفر از هر گروه (مردان سالم و سه گروه از مردان نابارور) با روش سنجش ستاره دنباله‌دار (Comet assay) قلبیایی مورد بررسی قرار گرفت. در این روش، ابتدا سلول‌ها در بستری از ژل آگارز روی لام قرار گرفته و پس از لیز در بافردر شرایط قلبیایی الکتروفورز شدند. DNA آسیب دیده، تحت جریان الکتروفورز به سمت آند مهاجرت کرده و شکلی شبیه به یک ستاره دنباله‌دار را در زیر میکروسکوپ فلئورسانس ایجاد نمود که به طور چشمی و درجه‌بندی استاندارد مورد بررسی قرار گرفت. میزان آسیب در DNA هر یک از گروه‌ها تعیین و تفاوت از نظر آماری با استفاده از آزمون‌های ANOVA و Post hoc test با یکدیگر مقایسه شد.

نتایج: در صد فراوانی آسیب DNA در اسپرم افراد سالم، کمتر از دیگر گروه‌های مورد بررسی بوده است. دو گروه اولیگواسپرم و اولیگو استنواسپرم به ترتیب از نظر میزان آسیب موجود در DNA بعد از گروه سالم قرار دارند. از مقایسه آماری به عمل آمده بین درصد آسیب DNA تعیین شده برای گروه‌ها مشخص شد که گروه‌های اولیگواسپرم و اولیگو استنواسپرم و استنواسپرم در مقایسه با گروه سالم از نظر آسیب زمینه در DNA با $P < 0.05$ تفاوت معنی داری را نشان می‌دهند. در گروه افراد نابارور بیشترین آسیب زمینه در DNA مربوط به نمونه‌های استنواسپرم بوده است.

نتیجه‌گیری: نتایج بیانگر آن است که آسیب زمینه در DNA اسپرم افراد نابارور، بیشتر از افراد سالم است و در بین افراد نابارور، افراد استنواسپرم آسیب DNA بیشتری را نشان می‌دهند. به نظر می‌رسد آسیب بیشتر مشاهده شده در افراد نابارور ناشی از کمبود سیستم آنتی‌اکسیدانتی در مراحل مختلف اسپرماتوزن و مایع منی باشد. وجود عوامل آنتی‌اکسیدان مانع ایجاد آسیب در DNA توسط مواد اکسیداتیو می‌شود.

کلواژگان: اسپرم مردان، آسیب DNA، روش سنجش ستاره دنباله‌دار (کامت)، ناباروری.

مقدمه:

غیرطبیعی در کروموزوم‌های جنسی مانند موزایسیسم XX/XY، XX/YY، XXX/XY و XX/XXY و بعضی عوامل اتوزومی و حذف‌های ژنی نام برد.

از روش‌های گوناگونی برای بررسی علل ناباروری در مردان همچون قدرت نفوذ اسپرم انسان در اووسیت هامستر (۴ و ۵) اندازه واکنش اکروزوم (۶)، ارزیابی تحرک اسپرم (۷ و ۸)، استفاده از میکروسکوپ الکترونی (۹ و ۱۰) و روش فلوسیتومتری برای ارزیابی ناهنجاری کروماتینی در اسپرم (۱۱ و ۱۲) استفاده شده است. هیچیک از این روش‌ها، خسارت DNA و ارتباط آن با ناهنجاری‌های کروماتین را مشخص نمی‌سازد. یکی از روش‌های بررسی آسیب DNA روش حلال‌شویی قلبیایی است، که آسیب موجود در تک‌رشته DNA را نشان می‌دهد و در آن با

نازایی یا عدم باروری در طی یکسال علیرغم مقاربت صحیح و عدم استفاده از روش‌های جلوگیری از بارداری، یکی از مشکلات جوامع مختلفی است که حدود ۱۴-۱۰ درصد از زوجین درگیر آن هستند. با توجه به افزایش سرعت رشد جمعیت و افزایش متوسط عمر و افزایش سن ازدواج از ۱۸ سالگی به ۳۵ سالگی و افزایش عوامل ایجاد ناباروری در محیط زندگی، وجود روش‌های دقیق‌تر ارزیابی ناباروری در مردان بیش از پیش نیاز است (۱).

عوامل متعددی در ناباروری مردان مؤثرند که اهم آنها عوامل هورمونی، التهابی، ایمنونولوژیک، محیطی و مکانیکی و آسیب‌رسان ژنتیکی می‌باشند. از عوامل ژنتیکی ایجاد ناباروری در مردان می‌توان از سندرم کلاین‌فیلتر، سندروم داون، وضعیت‌های

میزان آسیب موجود در DNA افراد بارور و نابارور استفاده شده است که علل بیولوژیک آنها مشخص نبوده است و در اکثر موارد میزان آسیب در DNA اسپرم افراد نابارور بیشتر بوده است (۲۹-۲۷). در تحقیقی نشان داده شد که اگر مدت و میزان پرتو دهی بر سلول‌های در حال تکثیر و سازنده اسپرم زیاد باشد آسیب وارده بسیار زیادتر از مراحل بعدی است (۳۱ و ۳۲). همچنین تاثیر مواد اکسیداتیو به عنوان محرک ایجاد آسیب در DNA اسپرم با این روش مورد بررسی قرار گرفت (۳۰ و ۳۳ و ۳۴). این تحقیقات نشان دادند که بین افزایش فعالیت رادیکال آزاد و میزان کاهش سیتوپلاسم در اسپرم ارتباط مستقیمی وجود دارد بطوریکه از این مرحله به بعد آسیب وارده بسیار زیاد است که می‌تواند با کاهش سیستم‌های آنتی اکسیدانت در اسپرم ارتباط داشته باشد (۳۷-۳۵).

در این تحقیق، برای ارزیابی میزان آسیب زمینه DNA در چهار گروه افراد سالم، اولیگواسپرم، استنواسپرم و اولیگواستنواسپرم که براساس استانداردهای WHO تقسیم‌بندی شده‌اند (۳۸)، از روش سنجش ستاره دنباله‌دار استفاده شد.

روش کار:

نمونه‌گیری:

نمونه‌های اسپرم با اطلاع و رضایت اهدا کنندگان دریافت و براساس شاخصه‌های تعریف شده زیر به سالم و افراد نابارور تقسیم شد (۳۸).

۱) افراد سالم (۳۰ نمونه): تحرک بیشتر از ۴۰ درصد و تعداد بیشتر از ۲۰ میلیون در میلی‌لیتر

۲) افراد اولیگواسپرم (۳۰ نمونه): تحرک بیشتر از ۴۰ درصد و تعداد کمتر از ۲۰ میلیون در میلی‌لیتر

۳) افراد استنواسپرم (۳۰ نمونه): تحرک کمتر از ۴۰ درصد و تعداد بیشتر از ۲۰ میلیون در میلی‌لیتر

۴) افراد اولیگواستنواسپرم (۳۰ نمونه): تحرک کمتر از ۴۰ درصد و تعداد کمتر از ۲۰ میلیون در میلی‌لیتر

دو میلی‌لیتر از نمونه اسپرم تهیه شده به لوله آزمایش ۱۵ میلی‌لیتری (فالکون) مخروطی حاوی دو لایه واضح پرکول ۸۰ درصد در زیر و پرکول ۴۰ درصد در لایه فوقانی افزوده شد. سپس به مدت ۱۰ دقیقه در ۲۰۰۰ rpm سانتریفوژ شد (Eppendorf 5810R). رسوبات سلولی به لوله 5cc منتقل و با محیط هامز (Ham's F-10)(Gibco BRL) محتوی سرم آلبومین انسانی رقیق شده و به مدت ۵ دقیقه در ۳۰۰۰ rpm سانتریفوژ

فیلترهایی با اندازه‌های مختلف، این تک‌رشته‌ها از هم جدا می‌شوند (۱۳ و ۱۴). با روش ELISA نیز کل DNA قابل بررسی است (۱۳). این روش‌ها قادر به تخمین آسیب DNA و میزان ترمیم آن در اسپرم بالغ و در حد یک سلول نمی‌باشند.

از روش سنجش ستاره دنباله‌دار، برای بررسی شکست‌های موجود در رشته‌های DNA استفاده می‌شود. این روش امکان ارزیابی سریع جمعیت بزرگ و تعداد زیاد سلول‌های منفرد یوکاریوتی را میسر می‌سازد. در این روش، سلول مورد نظر در لایه‌ای از ژل آگارز قرار داده می‌شود و تحت شرایط قلیایی، الکتروفورز می‌گردد که در نتیجه DNA آسیب دیده از هسته خارج شده و به سمت آند مهاجرت می‌کند (۱۵ و ۱۶). این روش به ژل الکتروفورز تک سلول (SCGE)^۱ نیز معروف است. این روش ابتدا توسط Rydberg و Johanson در سال ۱۹۷۸ ابداع شد، سپس توسط Ostling و Johanson در سال ۱۹۸۴ تحت شرایط خنثی طراحی گردید. Singh و همکاران در سال ۱۹۸۸ نسخه قلیایی این روش را معرفی کردند. در سال ۱۹۹۳ McKelvey-Martin و همکارانش پروتکل نهایی سنجش ستاره دنباله‌دار تحت شرایط قلیایی (pH>13) را تدوین نمودند که تا امروز مورد استفاده دارد (۱۴ و ۱۸). در این روش محتویات DNA سلول‌ها در نهایت، توسط رنگ‌های فلورسانت مانند اتیدیوم بروماید رنگ‌آمیزی شده و در زیر میکروسکوپ فلوئورسانس به شکل یک ستاره دنباله‌دار دارای یک دم و یک سر مشاهده می‌شود. هرچه میزان آسیب وارده به DNA بیشتر باشد، میزان DNA مهاجرت کرده هم بیشتر خواهد بود و در ضمن درخشان‌تر نیز دیده می‌شود (۲۰-۱۷).

ارزیابی آسیب DNA در اسپرم با سلول‌های سوماتیک کمی متفاوت است زیرا DNA در سر اسپرم بسیار فشرده تر از بقیه سلول‌ها است، لذا در روش SCGE برای لیز کردن اسپرم تغییراتی باید داده شود (۲۳-۲۱). با روش SCGE به ارزیابی آسیب وارده به DNA اسپرم در اثر مواد اکسیداتیو، دما و سموم مثل مواد شیمیایی، مواد شیمی درمانی و تشعشعات گوناگون پرداخته شده است (۲۴-۲۲). در ابتدا استفاده از روش SCGE در اسپرم برای ارزیابی و تعیین فراوانی مناطقی حساس DNA به مواد قلیایی، متداول بود (۱۵-۱۴ و ۲۵-۲۶). سپس با استفاده از تغییراتی که در این روش داده شد، میزان آسیب وارده به DNA اسپرم پس از پرتو دهی با اشعه X مورد ارزیابی واقع شد (۲۵ و ۲۶). در بعضی از آزمایش‌ها هم از این روش، برای مقایسه

^۱ - Single cell gel electrophoresis

شد. پس از تکرار شستشو با محیط هامز نمونه‌ها به لوله اپندروف ۵۰۰ μl منتقل و غلظت به تعداد ۱۰۵ اسپرم در ۱۰ μl رسانده شد.

روش کار ژل الکتروفورز تک سلول

اصول و پایه‌های روش و پروتکل کاری، براساس پروتکل (McKelvey-Martin ۱۹۹۳) (۱۸) طراحی و با تغییراتی برای اسپرم بهینه سازی شد و مورد استفاده قرار گرفت. برای هر نمونه ۲ لام تهیه و برای انجام روش از لام‌های کاملاً مات^۱ (Richard Supply Company) استفاده شد.

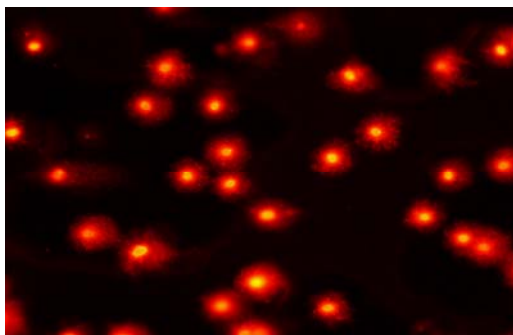
به منظور آماده سازی لام‌ها، ابتدا با استفاده از آگارز معمولی (Merck) با غلظت ۱٪ لام‌ها پیش پوشش داده شدند و پس از قرار دادن یک لامل بزرگ بر روی ژل برای سفت شدن آن به یخچال با دمای ۴°C منتقل گردید. ۱۰ میکرولیتر از نمونه اسپرم آماده شده با ۷۵ μl آگارز با نقطه ذوب پایین ۱٪ (Fermentas) مخلوط و روی لام منتقل شد و بلافاصله روی آن لامل قرار داده شد. پس از سفت شدن آگارز در یخچال لامل برداشته و لام با یک لایه دیگر از آگارز با نقطه ذوب معمولی به مقدار ۱۰۰ μl پوشش داده شد. پس از سفت شدن لایه سوم ژل، لامل برداشته شده و لام به مدت ۱ ساعت در بافر لیز کننده با pH=10 حاوی 10mM Tris base, 10% DMSO, 100mM NaEDTA, 2.5 M NaCl 1% Triton X-100 (Merck) قرار داده شد. برای لیز کامل سیتوپلاسم و غشای اسپرم لام‌ها به مدت یک شب^۲ در محلول پروتئیناز K (Sigma) با غلظت ۱mg/ml در انکوباتور ۳۷°C نگهداری شد.

به منظور باز شدن پیچش مولکول DNA، لام‌ها به مدت ۲۰ دقیقه در محلول بافر الکتروفورز با pH=13 حاوی ۳۰۰mM NaOH و ۱mM EDTA (Merck) قرار داده شد و سپس تانک الکتروفورز به منبع تغذیه متصل و با شرایط ۲۵ ولت و ۳۰۰mA به مدت ۲۰ دقیقه الکتروفورز انجام شد. لام‌ها در بافر خنثی کننده (0.4M Tris base, Merck) با pH=7 به مدت ۱۵ دقیقه شستشو داده شد. با افزودن ۵۰ μl اتیدیوم بروماید با غلظت ۲۰mg/ml به روی ژل، ستاره‌های دنباله دار (کامت‌ها) رنگ آمیزی و با میکروسکوپ فلوروسانس (Nikon E800) به طور چشمی و با درشتنمایی ۲۰۰ برابر مورد بررسی قرار گرفت (۲ و ۳). نمونه‌ای از ستاره‌های دنباله دار با درجات مختلف آسیب در شکل ۱ نشان داده شده است.

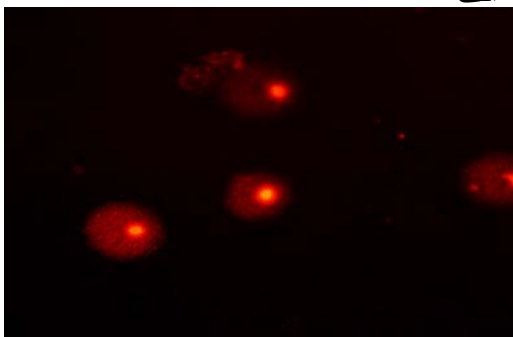
در هر لام در بخش‌های متفاوت به تعداد ۲۰۰ سلول بررسی و بر اساس ظاهر ستاره‌های دنباله دار و میزان آسیب DNA درجه بندی

^۱ - Fully frosted

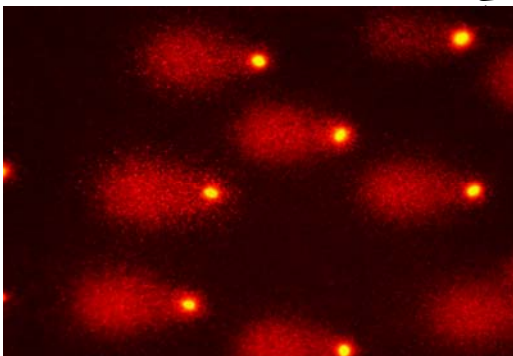
^۲ - Over night



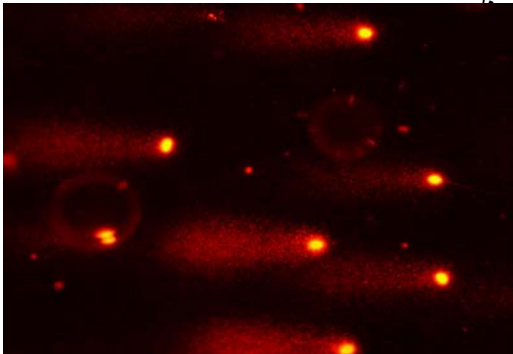
الف



ب

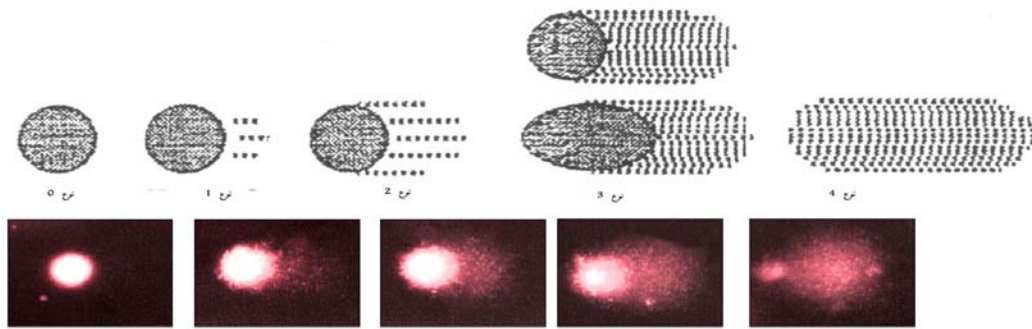


ج



د

شکل ۱- نمونه‌هایی از تصاویر ستاره دنباله دار مشاهده شده توسط میکروسکوپ فلورسانس
 (الف) ستاره دنباله دار نوع صفر و ۱، (ب) ستاره دنباله دار نوع ۲، (ج) ستاره دنباله دار نوع ۳ و (د) ستاره دنباله دار نوع ۴

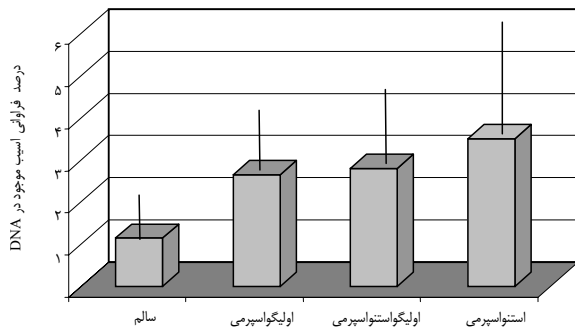


شکل ۲- تصاویر شماتیک و واقعی از انواع ستاره‌های دنباله‌دار (کامت) و معیار درجه‌بندی با روش چشمی

جدول ۱- میانگین درصد فراوانی انواع ستاره‌های دنباله‌دار در چهار گروه مورد آزمون. نتایج از شمارش ۴۰۰ سلول برای هر نمونه و از بررسی دو لام مستقل حاصل شده است

گروه	تعداد نمونه	نوع صفر SE±	نوع ۱ SE±	نوع ۲ SE±	نوع ۳ SE±	نوع ۴ SE±
سالم	۳۰	۹۹/۰±۰/۵	۰/۷±۰/۴	۰/۲۱±۰/۲	۰/۰±۰/۰	۰/۰±۰/۰
اولیگوآستنواسپرمی	۳۰	۹۷/۹±۰/۷	۱/۴±۰/۵	۰/۶۰±۰/۴	۰/۰۵±۰/۱	۰/۰±۰/۰
اولیگوآسپرمی	۳۰	۹۷/۸±۰/۷	۱/۵۷±۰/۵	۰/۴۸±۰/۳	۰/۰۴±۰/۱	۰/۰±۰/۰
استنواسپرمی	۳۰	۹۷/۶±۰/۸	۱/۴۹±۰/۵	۰/۶۴±۰/۴	۰/۱۶±۰/۳	۰/۰۴±۰/۲

لام مستقل حاصل شده است و در جدول ۱ خلاصه و در شکل ۳ نشان داده شد.



شکل ۳- مقایسه میزان آسیب DNA محاسبه شده برای نمونه‌های اسپرم گروه‌های مختلف مورد مطالعه. نتایج میانگین درصد آسیب حاصل از شمارش ۴۰۰ سلول از دو لام مستقل برای هر نمونه و ۳۰ نمونه از هر گروه می‌باشد.

همچنانکه در جدول ۱ مشاهده می‌شود در صد فراوانی تعداد هر ۵ نوع ستاره دنباله‌دار، در هر چهار گروه مورد آزمون ذکر گردیده است. فراوانی نسبی ستاره دنباله‌دار نوع صفر در گروه سالم از همه بیشتر و بیانگر تعداد سلول‌های با آسیب کمتر در این گروه می‌باشد.

در نمونه‌های نابارور، انواع دیگر ستاره‌های دنباله‌دار مشاهده

تابستان ۸۴، دوره هشتم، شماره دوم

شدند. سلول‌ها با در نظر گرفتن میزان مهاجرت DNA طبق معیارهای پذیرفته شده (۲۰) به ۵ دسته (از صفر تا ۴) دسته‌بندی گردید (شکل ۲).

آسیب‌های DNA (DD)، با بررسی هر فرد و انتساب هر یک از اعداد از صفر تا چهار کمی شد و توسط معادله توصیف شده به وسیله Jaloszynski و همکاران (۳۹) محاسبه گردید.

$$DD = (0n_0 + 1n_1 + 2n_2 + 3n_3 + 4n_4) / (\Sigma / 100)$$

که در این معادله:

DD: آسیب DNA

n_0 تا n_4 : تعداد کامت‌های از نوع ۰ تا ۴

Σ : مجموع کامت‌های شمارش شده، شامل نوع صفر است.

بدین ترتیب آسیب کلی ارایه شده بصورت محدوده‌ای از صفر تا ۴ ارزیابی گردید که به عنوان شاخص کلی میزان آسیب موجود در DNA در شکل ۳ نشان داده شد. اطلاعات و داده‌های بدست آمده با استفاده از نرم‌افزار SPSS 11.2 و آزمون‌های آنالیز واریانس یکطرفه (one-way ANOVA) و Post hoc test مورد بررسی آماری قرار گرفت و مقایسه بین گروهی انجام شد. تمامی استنتاج‌های آماری در سطح اطمینان ۹۵ درصد صورت گرفته است.

یافته‌ها:

نتایج از شمارش ۴۰۰ سلول برای هر نمونه و از بررسی دو

زیاد است. به علت همین ساختمان فوق‌العاده فشرده کروماتین، DNA اسپرم در حین الکتروفورز، قادر به مهاجرت نیست مگر آنکه توسط آنزیم‌های پروتئیناز، پروتامین‌ها تا حد زیادی، تجزیه شده باشند. علت استفاده از پروتئیناز K در این بررسی نیز همین بوده است (۱۷ و ۱۸).

در تحقیقات Hughes و همکارانش، بین میزان آسیب DNA موجود در هسته اسپرم مردان بارور و نابارور مقایسه‌ای انجام شد. نتایج حاکی از آن بود که میزان آسیب پایه موجود در DNA اسپرم ۲۰ درصد است که ۴ برابر سلول‌های سوماتیک می‌باشد (۲۰-۱۶). این تحقیقات همچنین نشان می‌دهند که آسیب‌هایی که در حین اسپرماتوژنز حاصل می‌گردد، دیگر در اسپرم بالغ قابل تغییر نیست، و علت آن فقدان سیستم‌های تعمیر کننده DNA در اسپرم بالغ است. اما مقداری از آسیب‌ها پس از لقاح توسط سیستم‌های ترمیمی بسیار قوی اووسیت جبران می‌شود (۴۳). از دلایل دیگر آسیب‌پذیری بسیار زیاد DNA در اسپرم، فقدان سیستم‌های آنزیمی آنتی‌اکسیدان شامل گلوتامین پراکسیداز، سوپراکسید دیسموتاز و کاتالاز در اسپرم است (۴۴). وجود سیستم‌های آنتی‌اکسیدان قوی دیگری مانند آلفاتوکوفرول، اسید اسکوربیک و اورات در مایع منی و پیرامون اسپرم به حفاظت DNA اسپرم کمک شایانی می‌نماید. عملکرد و مقدار این سیستم‌ها در گروه‌های مختلف اسپرمی تفاوت دارد و حساسیت این گروه‌ها را نسبت به مواد آنتی‌اکسیدان هم متفاوت می‌سازد و در نهایت درجات متفاوت آسیب DNA در آنها دیده می‌شود (۲۹-۲۸ و ۳۳-۳۴). از بین سه سیستم فوق اسید اسکوربیک از همه مهمتر است، غلظت این ماده در مایع منی ۱۰ برابر پلاسمای خون است و نقش مهمی در حفاظت از DNA اسپرم در برابر مواد اکسیداتیو دارد (۴۳ و ۴۴). آلفاتوکوفرول در حفاظت DNA در برابر مواد اکسیداتیو نقش دارد ولی کار اصلی آن ممانعت از پراکسیده شدن لیپیدها در اسپرم است که برای الحاق درست اسپرم به اووسیت مهم است (۲۸ و ۳۳ و ۴۳).

Singh و همکارانش معتقدند که در کروماتین اسپرم، مناطق حساس به قلیا، بسیار بیشتر از DNA سایر سلول‌هاست که این امر در سازمان دهی مخصوص کروماتین اسپرم نقش بسزایی دارد و به حفاظت آن در مقابل مواد اکسیداتیو کمک زیادی مینماید (۱۵ و ۱۶).

نتایج این تحقیق نشانگر حساسیت و آمادگی بیشتر DNA اسپرم در مردان با مشکل ناباروری برای آسیب‌پذیری از مواد آسیب‌زا در مقایسه با اسپرم افراد سالم و بارور است. نتایج این بررسی حاکی از آن است که در بین گروه‌های نابارور حساسیت استنواسپرم‌ها و میزان آسیب DNA در آنها بیشتر است (شکل ۳).

می‌شود که نشان دهنده میزان آسیب بیشتر DNA در اسپرم این افراد است. در مجموع چنین بر می‌آید که میزان آسیب در DNA افراد استنواسپرم از دیگر گروه‌های نابارور بیشتر است.

از مقایسه هر چهار گروه آزمون، از نظر ۵ نوع ستاره دنباله‌دار، این نتایج حاصل می‌شود که در نوع صفر، ۱، ۲ و ۳ ستاره دنباله‌دار بین چهار گروه تفاوت معنی‌داری با $P < 0.05$ وجود دارد ولی در نوع ۴ ستاره دنباله‌دار تفاوت معنی‌داری بین چهار گروه وجود ندارد.

در مقایسه بین گروهی، گروه‌های چهارگانه آزمون، از نظر فراوانی نوع اول ستاره دنباله‌دار، تنها بین گروه سالم و سه گروه دیگر از نظر آماری تفاوت معنی‌داری وجود دارد ($P < 0.05$).

در مقایسه بین گروهی، گروه‌های چهارگانه آزمون، از نظر فراوانی نوع ۱ و ۲، ستاره دنباله‌دار بین گروه سالم و سه گروه دیگر، از نظر آماری تفاوت معنی‌داری وجود دارد ($P < 0.05$) که در واقع فراوانی نوع ۱ و ۲ ستاره دنباله‌دار (سلول‌هایی با آسیب متوسط DNA) در گروه سالم از همه کم‌تر است.

از نظر فراوانی نوع ۳ ستاره دنباله‌دار بین گروه‌های (سالم و استنواسپرمی) و (اولیگواسپرمی و اولیگواستنواسپرمی) و (اولیگواستنواسپرمی و استنواسپرمی) از نظر آماری با $P < 0.05$ تفاوت معنی‌داری وجود دارد. نوع ۴ ستاره دنباله‌دار هم که تنها در استنواسپرم‌ها و آن هم با فراوانی اندک مشاهده شد، تفاوت معنی‌داری با سایر گروه‌ها نشان نمی‌دهد. در شکل ۳، میزان آسیب زمینه در DNA هسته اسپرم نشان داده شد که در گروه سالم کمتر از دیگر گروه‌ها و در استنواسپرم‌ها از همه بیشتر است.

بحث:

همواره برای بررسی آسیب موجود در DNA و تغییرات آن در طی اسپرماتوژنز علاقمندانی وجود داشته است (۱۴ و ۱۵) ولی ارتباط بین DNA اسپرم بالغ و ناباروری در مردان کمتر مورد توجه قرار گرفته است. در طی مراحل اسپرماتوژنز، رشته‌های کروماتین هسته اسپرم فشرده می‌شوند و جای هیستون‌ها در ساختار نوکلئوزومی سلول‌های سوماتیک، توسط پروتامین‌ها که غنی از آرژنین هستند، گرفته می‌شود (۴۲-۴۰). DNA در حلقه‌هایی به طول متوسط ۲۷ کیلو باز سازمان‌دهی می‌شود که توسط جفت بازهایشان به ماده زمینه هسته متصل می‌شوند. در عین حال خود این حلقه‌ها به وسیله پل‌های دی سولفیدی که میانشان ایجاد می‌شود، پایدار می‌گردند. به همین دلیل پایداری و مقاومت کروماتین اسپرم در برابر عوامل لیز کننده معمول بسیار

می‌آید تنها در تعداد تقسیمات سلول‌های نطفه‌ای اثر دارد و تعداد کل اسپرم را کمتر از حد سالم می‌سازد ولی مشکلات DNA و ناهنجاری‌های کروموزومی و ریختی در این دسته کمتر است. به همین دلیل بعد از گروه سالم، تمامیت DNA بیشتر از بقیه حفظ شده است. گروه سالم که به وضوح خسارت جزئی را نشان می‌دهند. نمایانگر عملکرد طبیعی سیستم‌های آنتی‌اکسیدان در مایع منی و صحت کامل DNA در هسته اسپرم آن است.

جمع‌بندی نتایج حاکی از آن است که آسیب DNA در اسپرم مردان سالم کمتر از افراد نابارور و در بین اسپرم افراد نابارور گروه استنواسپرمی بیشترین مقدار آسیب در DNA را نشان می‌دهد. این نتایج مشابه یافته‌های دیگر محققان است با این تفاوت که میزان آسیب زمینه DNA در اسپرم افراد سالم کمی بیشتر از مقادیر گزارش شده است که می‌تواند ناشی از قرار گرفتن جامعه مورد مطالعه در معرض عوامل محیطی و شیمیایی متفاوت و یا بیشتری باشد. همچنین کارآیی مؤثر روش سنجش ستاره دنباله‌دار برای ارزیابی آسیب وارده به DNA به عنوان یک روش سیتوتونیک ساده و در عین حال حساس مشخص گردید.

تشکر و قدردانی:

این تحقیق در قالب طرح تحقیقاتی مصوب و حمایت مالی جهاد دانشگاهی مرکزی و در پژوهشکده رویان انجام شده است.

References:

- Oehinger S, Acosta A, Veek LC. Recurrent failure of *in vitro* specific sperm oocyte defects. *Am J Gynecol* 1991; 1: 1210-5.
- Hughes CM, Lewis SEM, McKelvey-Martin VJ. A comparison of baselines and induced DNA damage in human spermatozoa from fertile and infertile men, using a modified comet assay. *Mol Hum Reprod* 1996; 2: 613-9.
- Hughes CM, Lewis SEM, McKelvey-Martin VJ, et al. Reproducibility of human sperm DNA measurements using the alkaline single cell gel electrophoresis assay. *Mutation Res* 1997; 774: 261-268.
- Kruger TF, Acosta AA, Swanson R. Predictive value of abnormal sperm morphology in vitro fertilization. *Fertil Steril* 1988; 49:112-117.
- Liu DY, Baker HW. The proportion of human sperm with poor morphology, but normal intact acrosomes detected with pisum sativum agglutinin correlates with fertilization *in vitro*. *Fertil Steril* 1988; 50: 288-293.
- Irvine DA. Assessment of spermatogenesis. *Current Gynecol* 1992; 2: 20-26.
- Irvine DS, Twigg JP, Gordon EL, et al. DNA integrity in human spermatozoa relationship with semen quality. *J Androl* 2000; 21: 33-44.
- Lipitz S, Bert B, Radian C. Sperm head ultra morphology and chromatin stability of males with unexplained infertility who failed to fertilize normal human ova *in vitro*. *Andrologia* 1992; 24: 261-9.
- Zamboni L. Sperm structure and its relevance to infertility. *Arch Pathol Lab Med* 1992; 116: 325-44.
- Evenson DP, Jost LK, Baer RK. Individuality of DNA denaturation patterns in human sperm as measured by the sperm chromatin structure assay. *Reprod Toxicol* 1991; 5: 115-25.
- Engh E, Sholbery A, Clausen OPE, et al. DNA flow cytometry of sperm from normozoospermic men in barren couples and men of proven fertility. *Int J Fertil* 1993; 38: 305-10.
- Van loon AAWM, Den Boer PJ, Van der Shans GP. Immunochemical detection of DNA damage induction and repair at different cellular stages of spermatogenesis of the hamster after *in vitro* or *in vivo* exposure to ionizing radiation. *Cell Res* 1991; 193: 303-9.
- Van loon AAWM, Sonneveld E, Hoogerbrugge J. Induction and repair of single strand breaks and DNA base damage at different cellular stages of spermatogenesis of the hamster upon *in vitro* exposure to ionizing radiation.

- Mutation Res 1993; 294: 139-48.
- 14- Singh NP, McCoy MT, Tice RR, et al. A simple technique for quantification of low levels of DNA damage in individual cells. Cell Res (1988); 175: 184-91.
 - 15- Singh NP, Stephens RE. X-ray induced DNA double-strand breaks in human sperm. Mutagenesis 1988; 13: 75-9.
 - 16- Hughes CM, McKelvey-Martin VJ, Lewis SEM. Sperm DNA integrity assessed by comet and ELISA assays. Mutagenesis 1999; 14: 71-5.
 - 17- Hughes CM, Lewis SEM, McKelvey-Martine VJ, et al. The effect of antioxidant supplement during percoll preparation on human sperm DNA integrity. Hum Reprod 1998; 13: 1240-7.
 - 18- McKelvey-Martin VJ, Green MML, Schmer P. The single cell gel electrophoresis assay (Comet assay): A European review. Mutation Res 1993; 288: 47-63.
 - 19- McKelvey Martin VJ, Melia N, Walsh IK. Two potential clinical applications of the alkaline single cell gel electrophoresis assay 1) Human bladder 2) Human sperm and male infertility. Mutation Res 1997; 375: 93-104.
 - 20- Kobayashi H, Sugiyama C, Morikawa Y, et al. A comparison between manual microscopic analysis and computerized image analysis in the single cell gel electrophoresis assay. MMS Communication 1995; 3: 103-15.
 - 21- Tice RR. The single cell gel electrophoresis comet assay: A microgel electrophoresis technique for the detection of DNA damage and repair in individual cell. Environ Mol Mutagen 1995; 1: 315-39.
 - 22- Tice RR, Agurell E, Anderson D, et al. Single cell gel/comet assay: Guidelines for in vitro and in vivo genetic toxicology testing. Environ Mol Mutagen 2000; 35: 206-21.
 - 23- Muller P, Knudsen LE, Loft S, et al. The comet assay as a rapid test in biomonitoring occupational exposure to DNA-damaging agents and effect of confounding factors. Cancer Epidemiol, Biomark Prevent 2000; 9: 1005-15.
 - 24- Kassie F, Parzefall W, Knasmuller S. Single cell gel electrophoresis assay: A new technique for human biomonitoring studies. Mutation Res 2000; 463: 13-31.
 - 25- Hains G, Marples B, Daniel P, Morris I. DNA damage in human and mouse spermatozoa after *in vitro* irradiation assessed by the comet assay. Adv Med Biol 1998; 444: 79-93.
 - 26- Hains GA, Hendry JH, Daniel CP, et al. Increased levels of the comet detected spermatozoa DNA damage following in vitro isotopic or X-irradiation of spermatozoa. Mutation Res 2001; 495: 21-32.
 - 27- Lopes S, Jurisicora A, Sun JG, et al. Reactive oxygen species-potential cause for DNA fragmentation in human spermatozoa. Human Reprod 1998; 13: 896-900.
 - 28- Aitken RJ, Gordon E, Harkiss D, et al. Impact of oxidative stress on the functional competence and genomic integrity of human spermatozoa. Biol Reprod 1998; 50: 1037-46.
 - 29- Aitken RJ, Fisher H. Reactive oxygen species generation and human spermatozoa: The balance of benefit and risk. Biol Essay 1994; 16: 259-67.
 - 30- Donnelly ET, McClure N, Lewis SEM. Effect of ascorbate supplementation *in vitro* on hydrogen peroxide-induced DNA damage and production of reactive oxygen species in human spermatozoa. Hum Reprod 1998; 13: 2003-10.
 - 31- Shen HM, Ong CN. Detection of oxidative DNA damage in human sperm and its association with sperm function and male infertility. Radiat Med 2000; 28: 529-36.
 - 32- Meistrich N, Hunter N, Suzuki N, et al. Gradual regeneration of mouse testicular stem cell after exposure to ionizing radiation. Rad Res 1978; 74: 349-62.
 - 33- Aitken RJ. Molecular Mechanisms Regulating Human Sperm Function. Mol Hum Reprod 1997; 3: 169-73.
 - 34- Aitken RJ. The Amoroso Lecture: The human spermatozoa; A cell in crisis? J Reprod Fertil; 115: 1-7.
 - 35- Donnelly ET, O'Connell M, McClure N, et al. Differences in nuclear DNA fragmentation and mitochondrial integrity of semen and prepared human spermatozoa. Hum Reprod 2000; 15: 1552-61.
 - 36- Barroso G, Morshedi M, Oehinger S. Analysis of DNA fragmentation, plasma membrane translocation of phosphatidylserine and oxidative stress in human spermatozoa. Hum Reprod 2000; 15: 1338-44.
 - 37- Twigg J, Irvine DS, Houston P. Analysis of the impact of intracellular reactive oxygen species generation on the structural and functional integrity of human spermatozoa: Lipid peroxidation, DNA fragmentation and effectiveness of antioxidant. Hum Reprod 1998; 13: 1429-36.
 - 38- World Health Organization. WHO laboratory manual for the examination of human semen and sperm-cervical mucus interaction. 4th ed. Cambridge, UK; Cambridge University Press; 1999.
 - 39- Jalszynski P, Kujawski M, Czub-Swierczek M, et al. Szyfter K. Bleomycin induced DNA damage and its removal in lymphocytes of breast cancer patients studied by comet assay. Mutation Res.1997; 385: 223-33.
 - 40- Sidney R, Grimes JR. Nuclear proteins in spermatogenesis. Compar Biochem Physiol 1986; 83: 495-500.
 - 41- Ward WS, Coffy DS. DNA packaging and organization and mammalian spermatozoa: Comparison with somatic cells. Biol Reprod 1991; 44: 560-74.
 - 42- Ward WS. DNA loop domain tertiary structure in mammalian spermatozoa. Biol Reprod 1993; 48: 1193-1201.
 - 43- Lewis SEM, Boyle PM, McKinney KA. Total antioxidant capacity of semen plasma is different in fertile and infertile men. Fertil Steril 1995; 64: 866-70.
 - 44- Lewis SEM, Sterling S, Young I, Thompson W. Comparison of individual antioxidants and total capacity of sperm and seminal plasma in fertile and infertile men. Fertil Steril 1997; 50: 288-93.